

FIG. 1A
RELATED ART

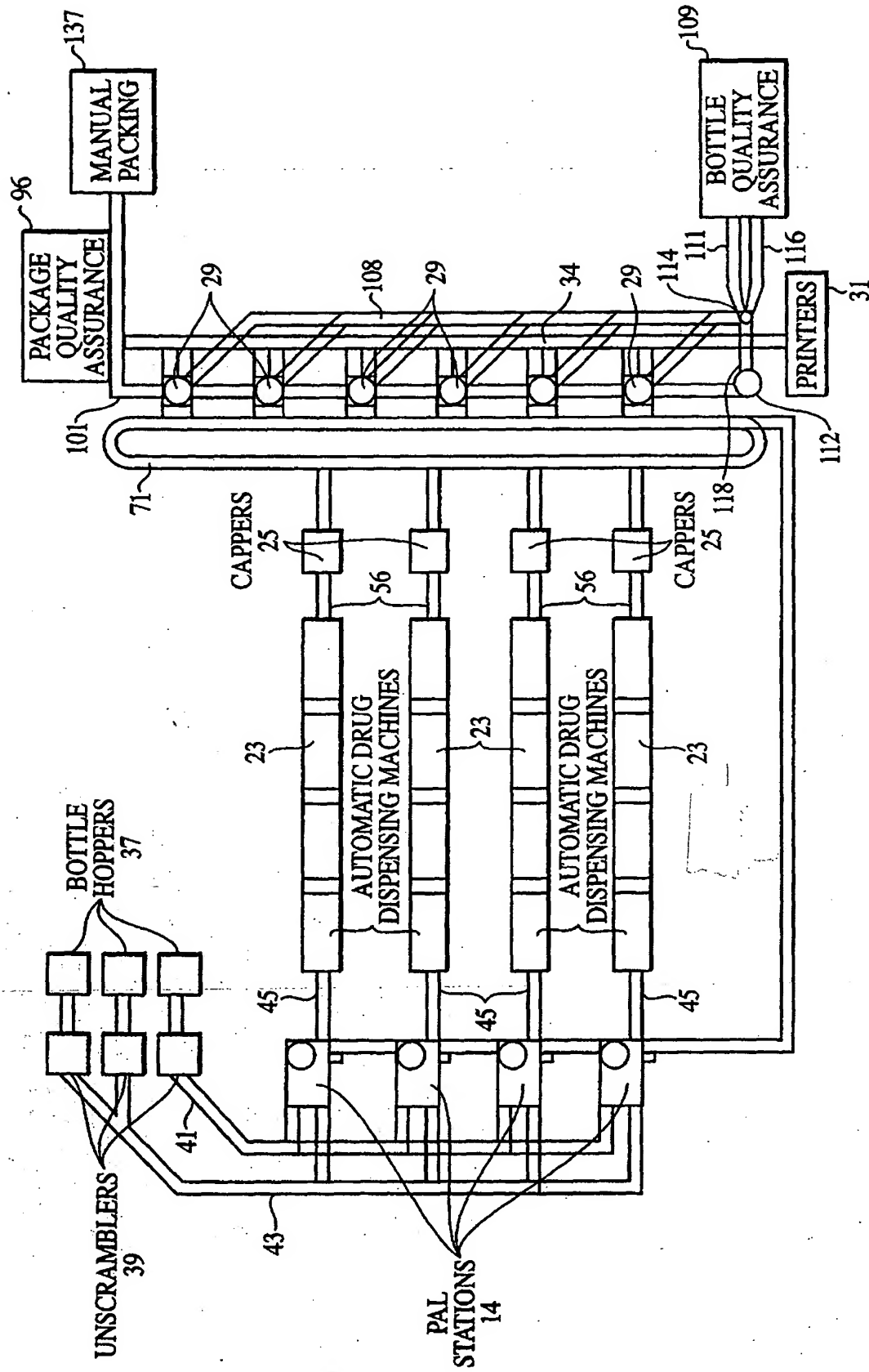


FIG. 1B RELATED ART

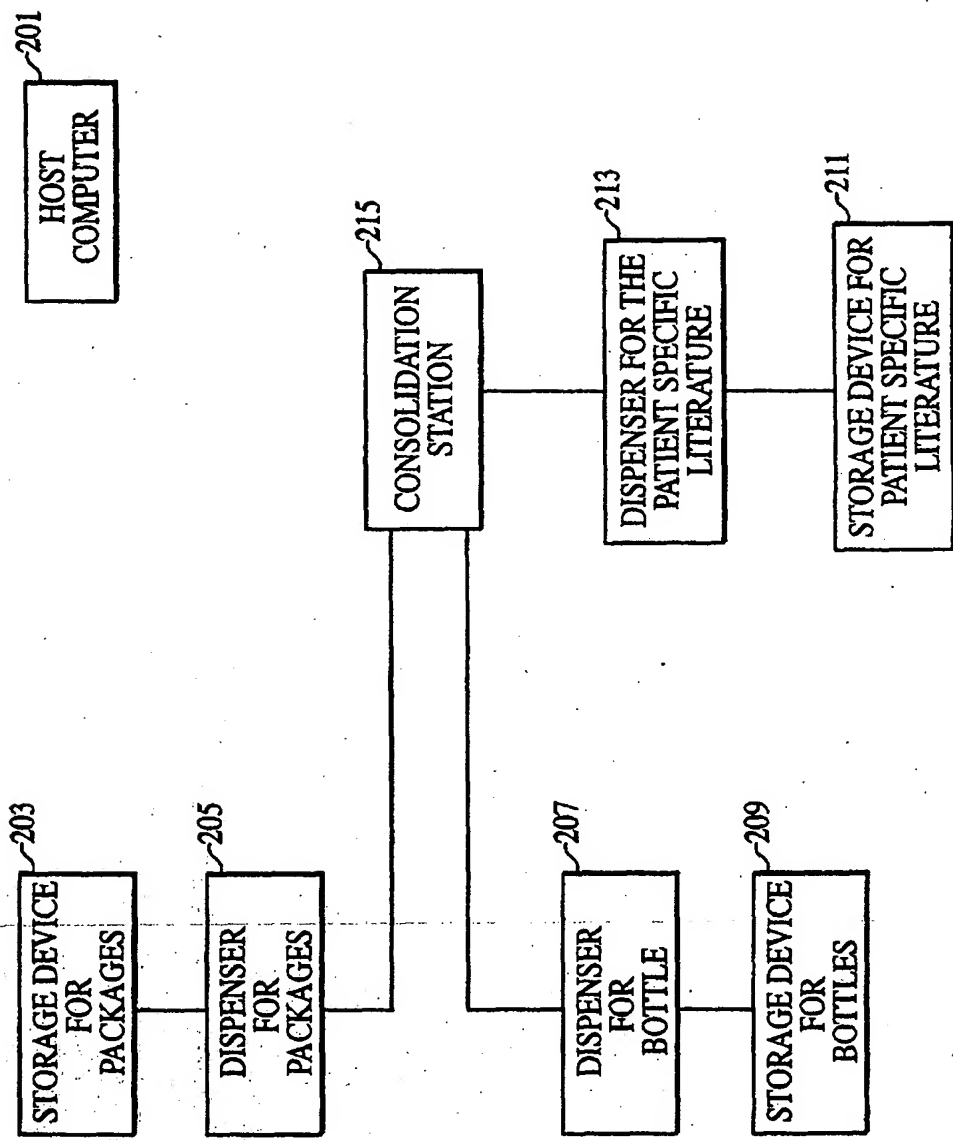
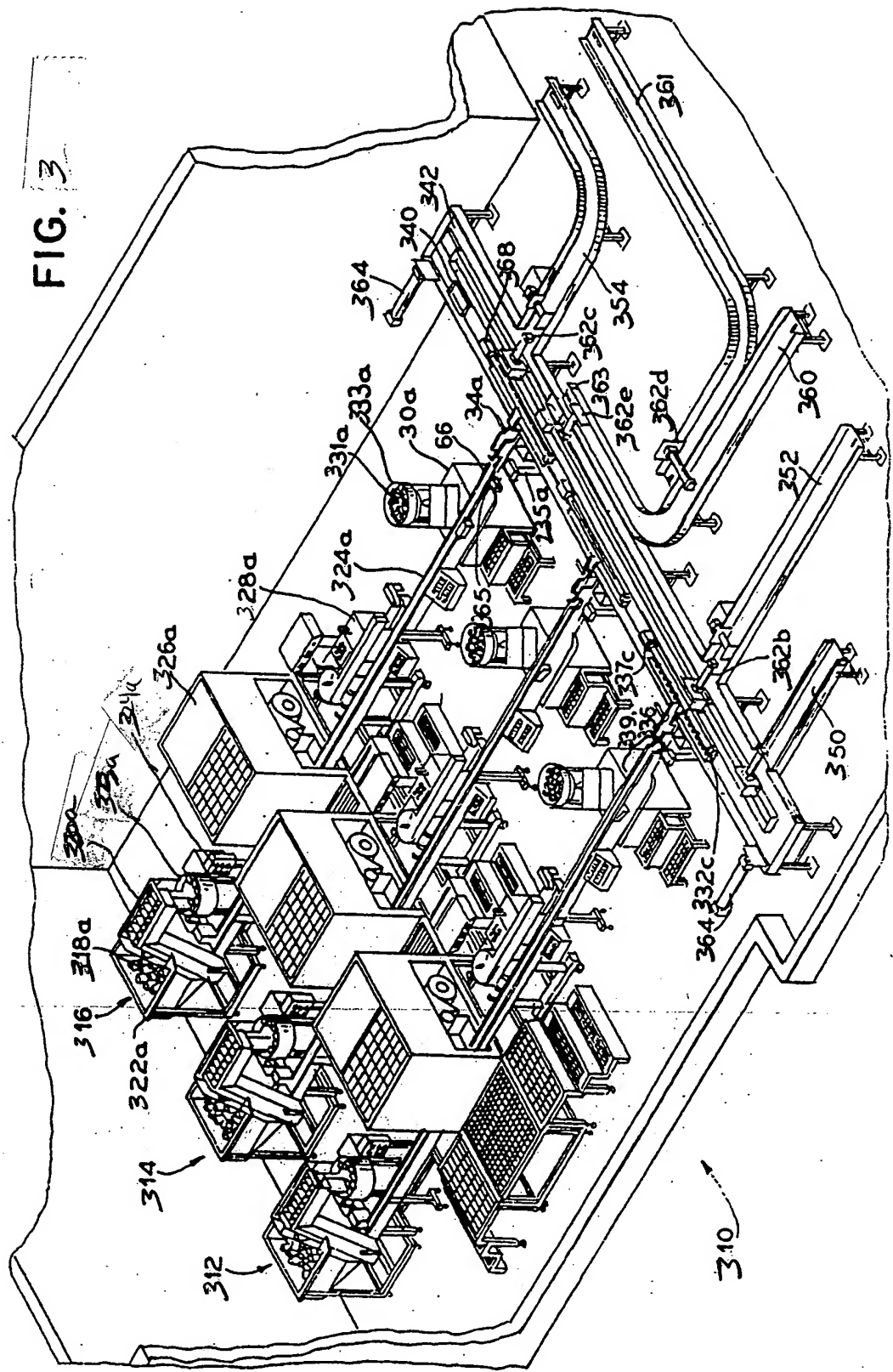


FIG. 12
RELATED ART

FIG. 3



RELATED ART

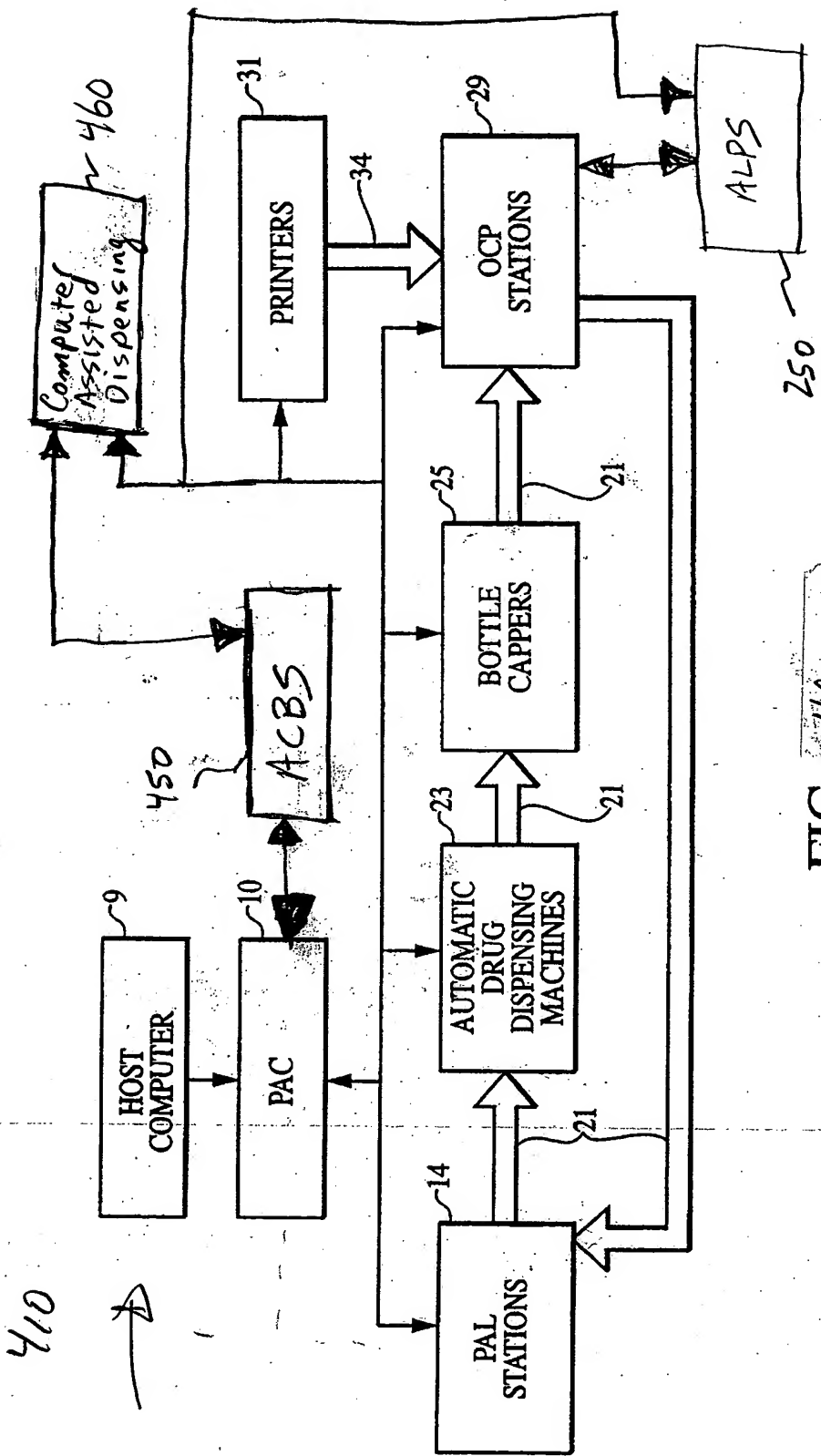


FIG. 4A

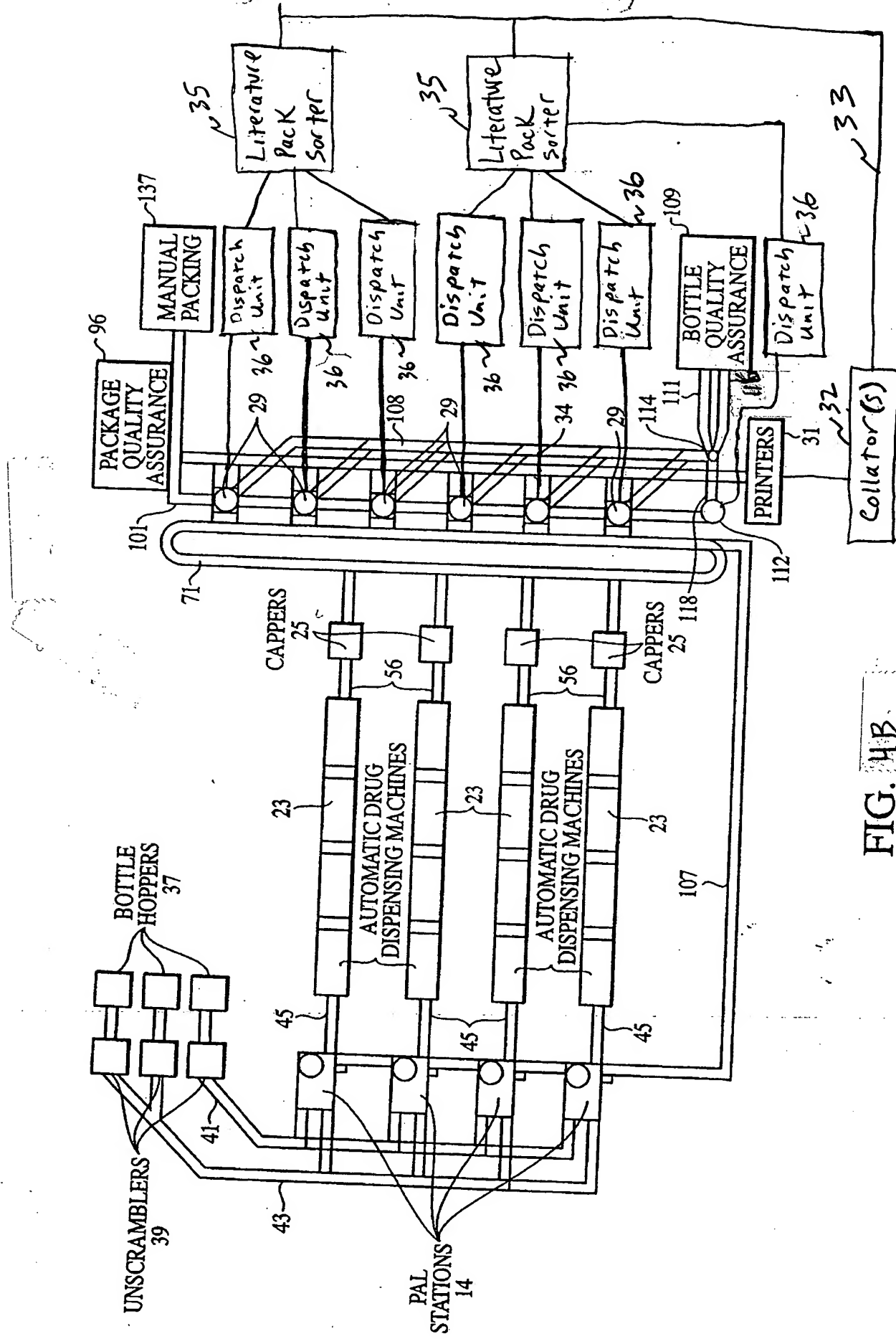


FIG. 4B.

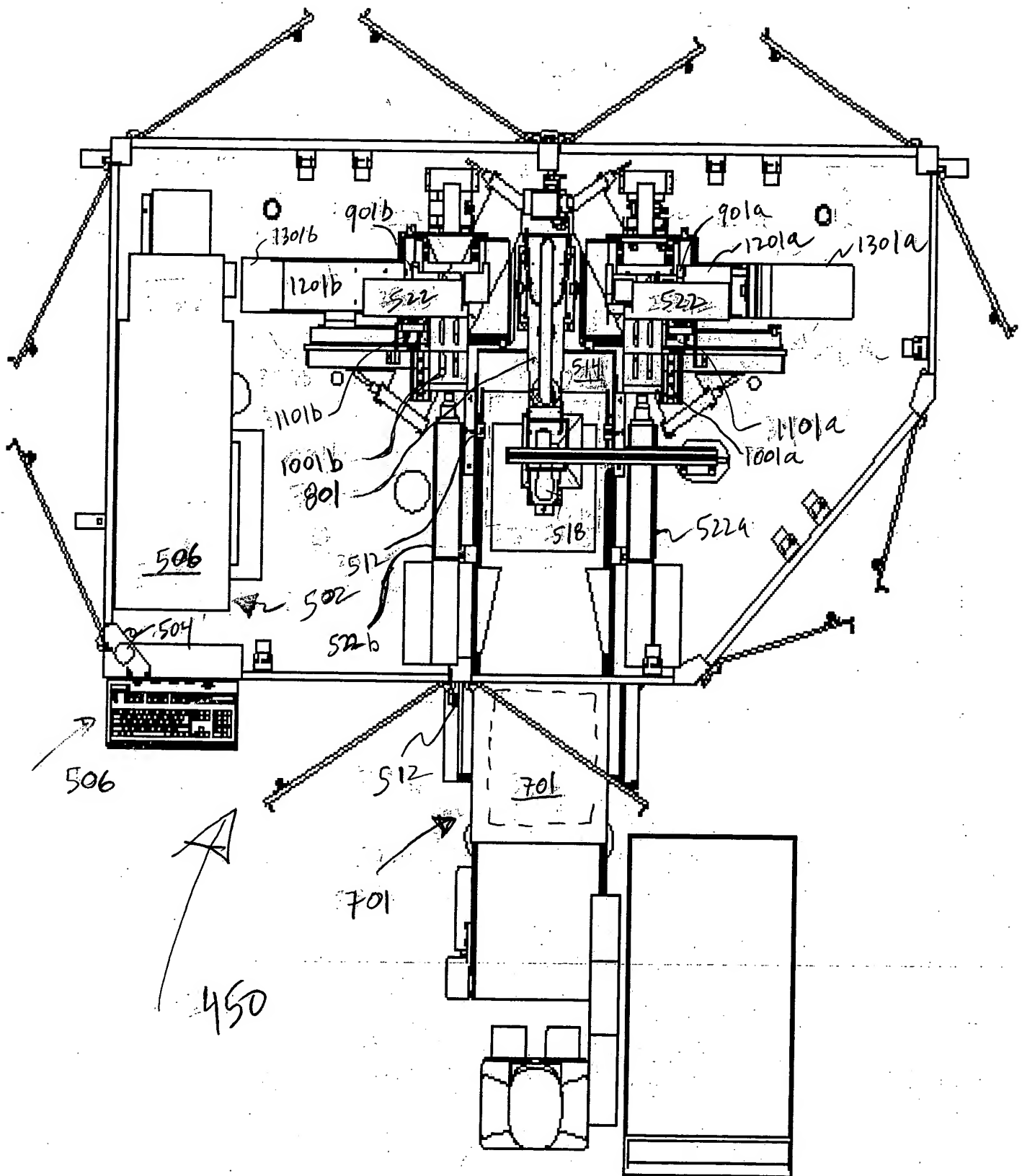


Fig. 25

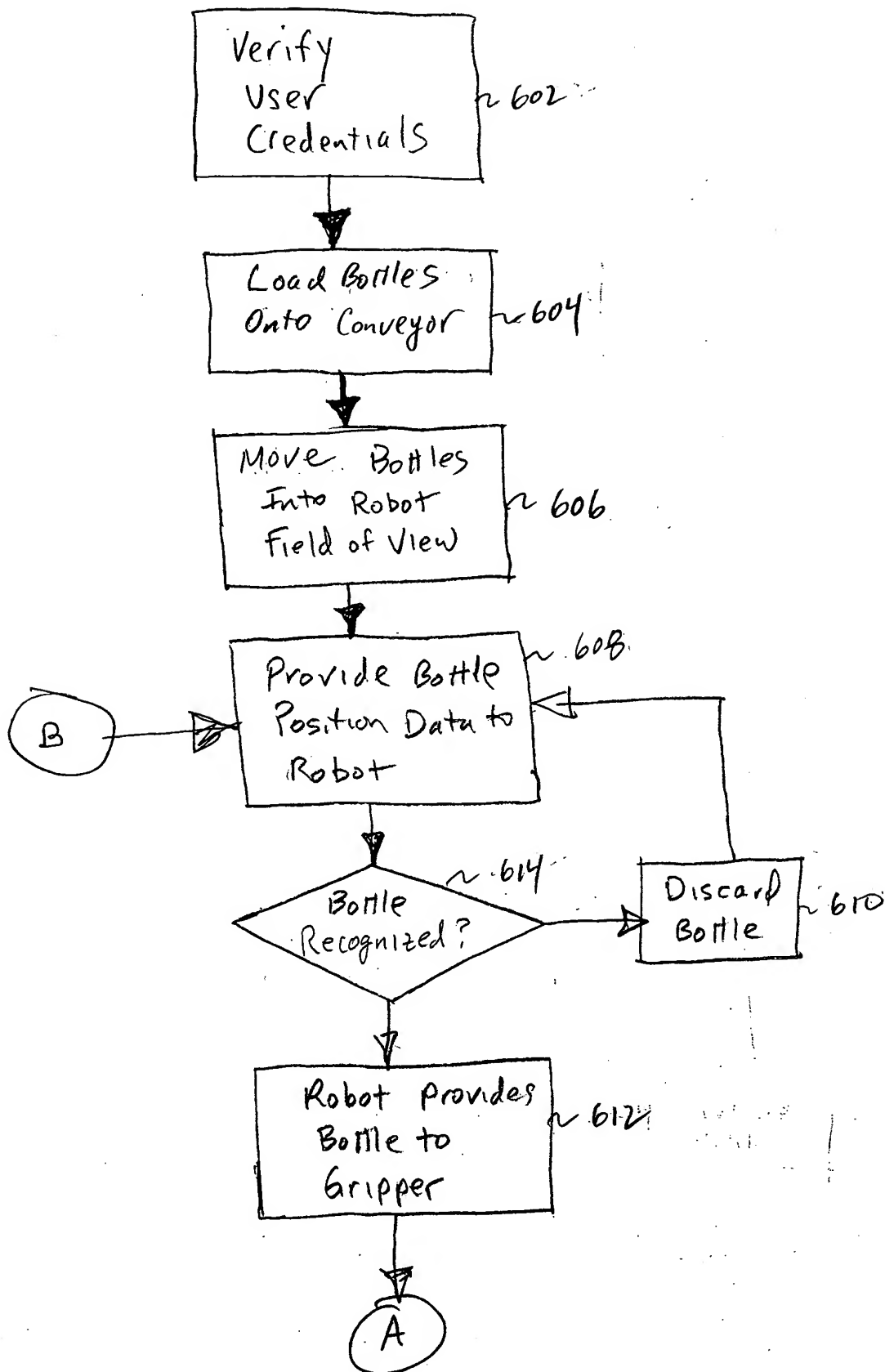


Fig. 6a

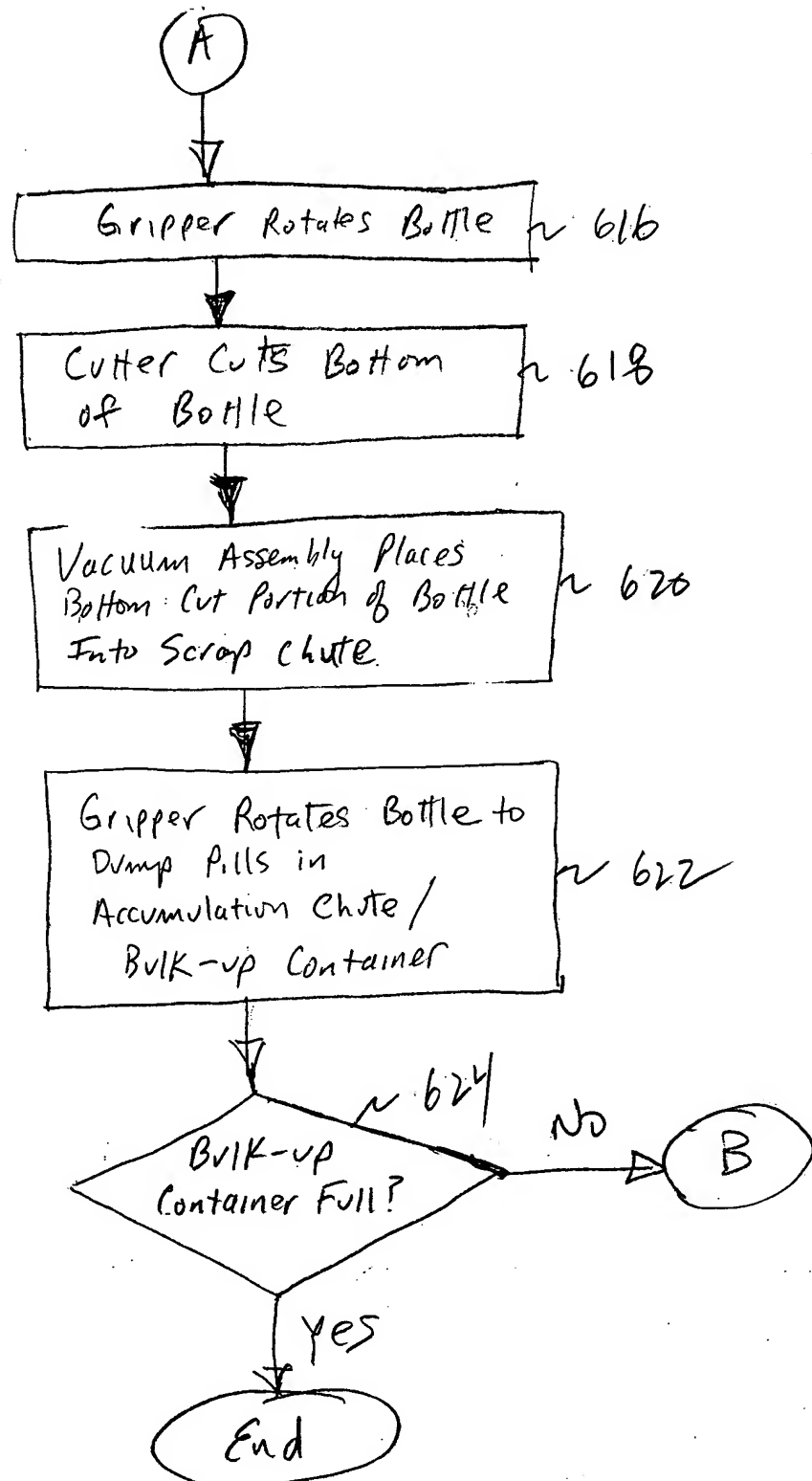


FIG. 6b

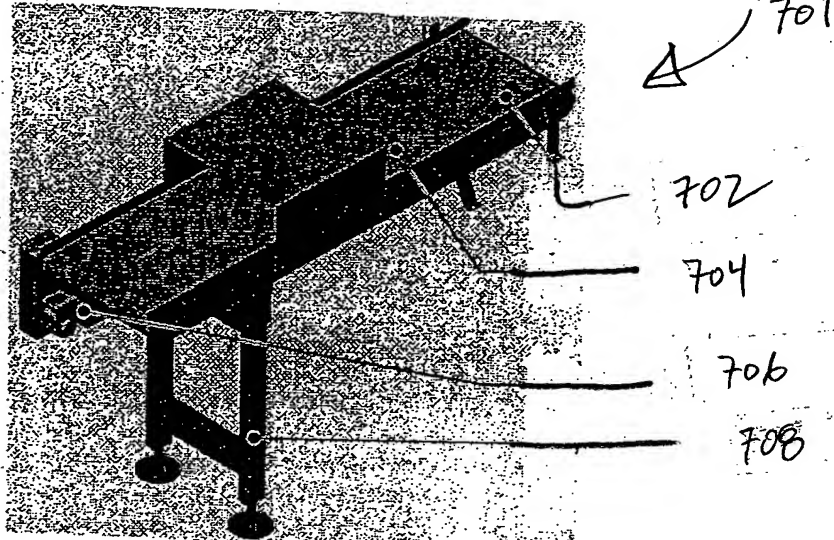


Fig. 17

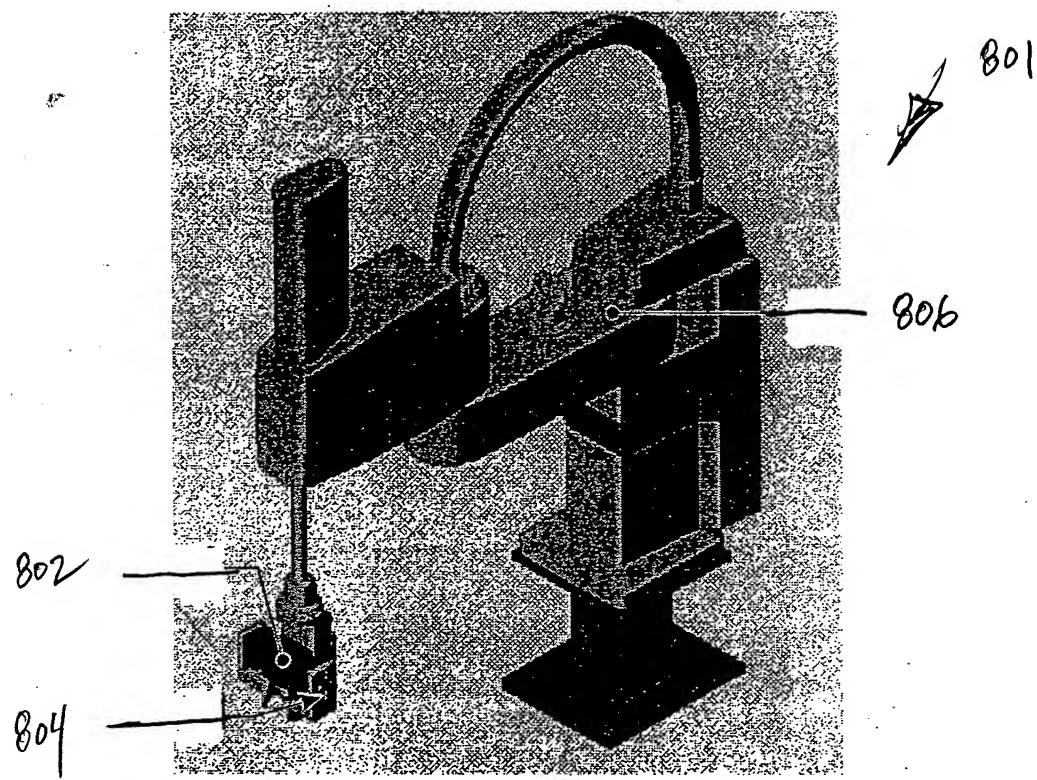
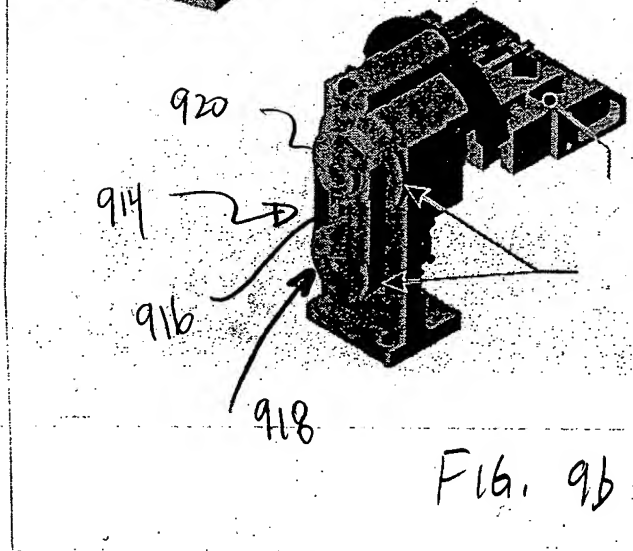
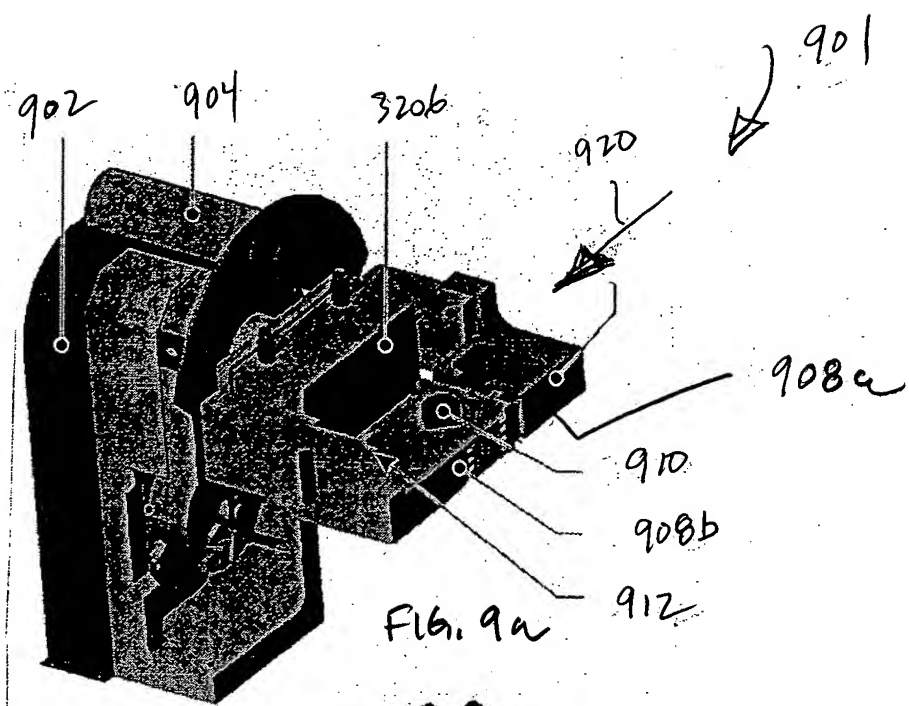


Fig 8



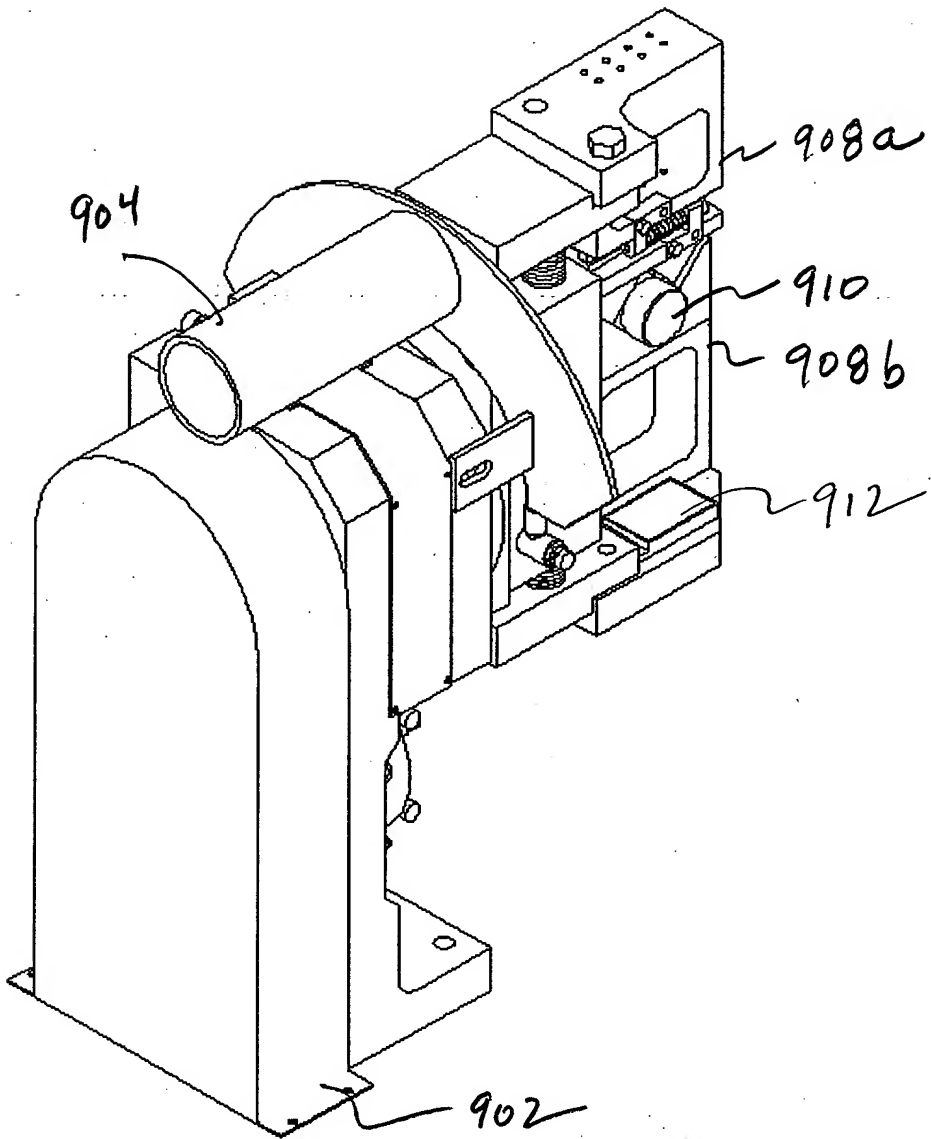


Fig. 9c

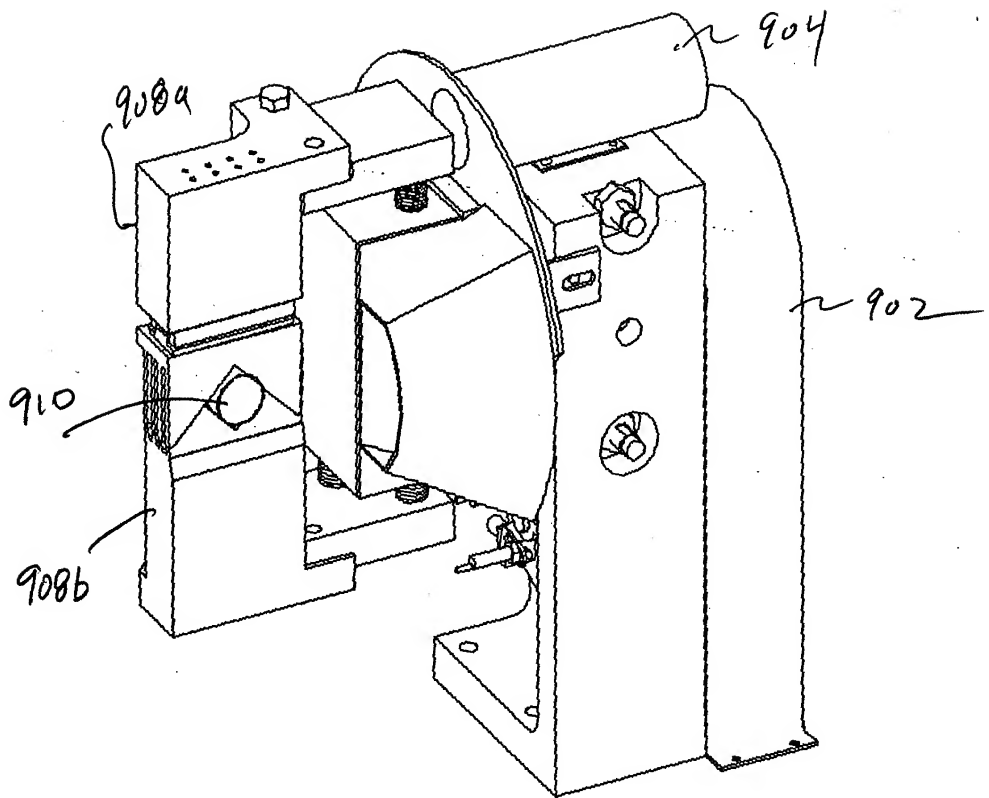


Fig. 9d

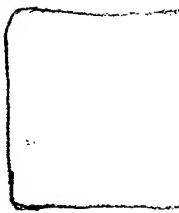


Fig. 9f

Fig. 9g

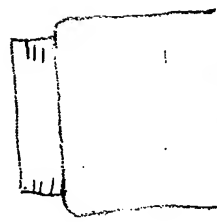


Fig. 9g

Fig. 9f

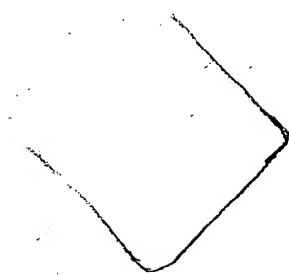


Fig. 9f

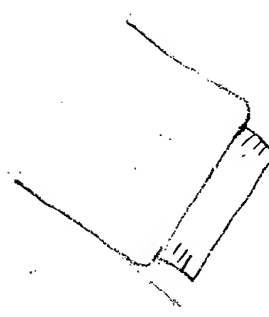


Fig. 9i

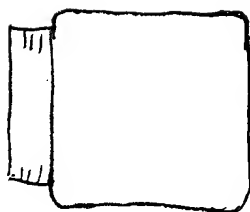


Fig. 9e

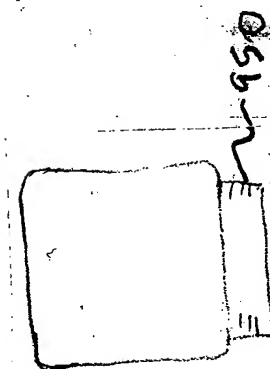


Fig. 9h

Fig. 9g

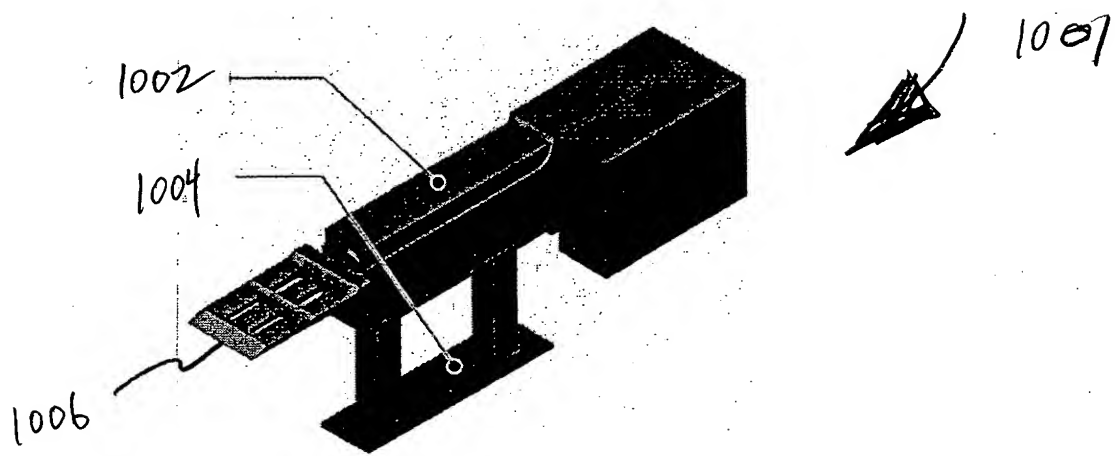


FIG. 10

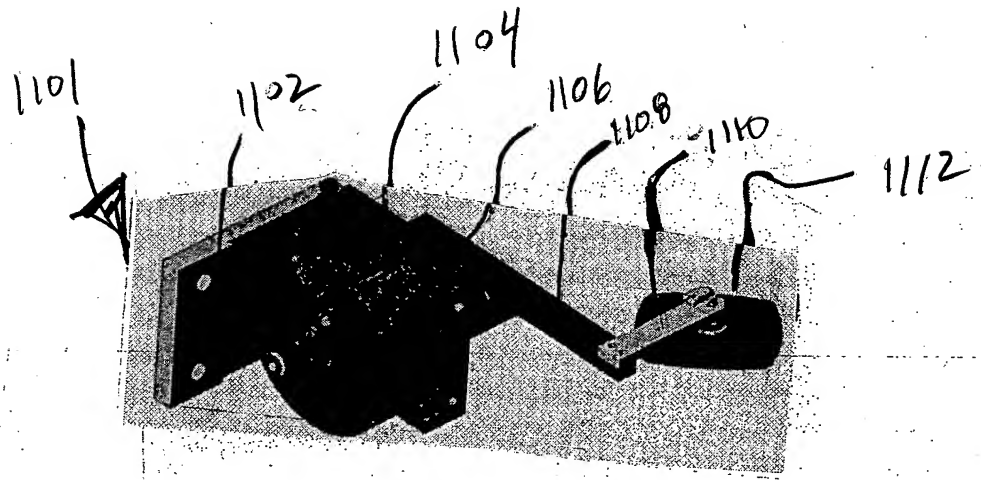


FIG. 11a

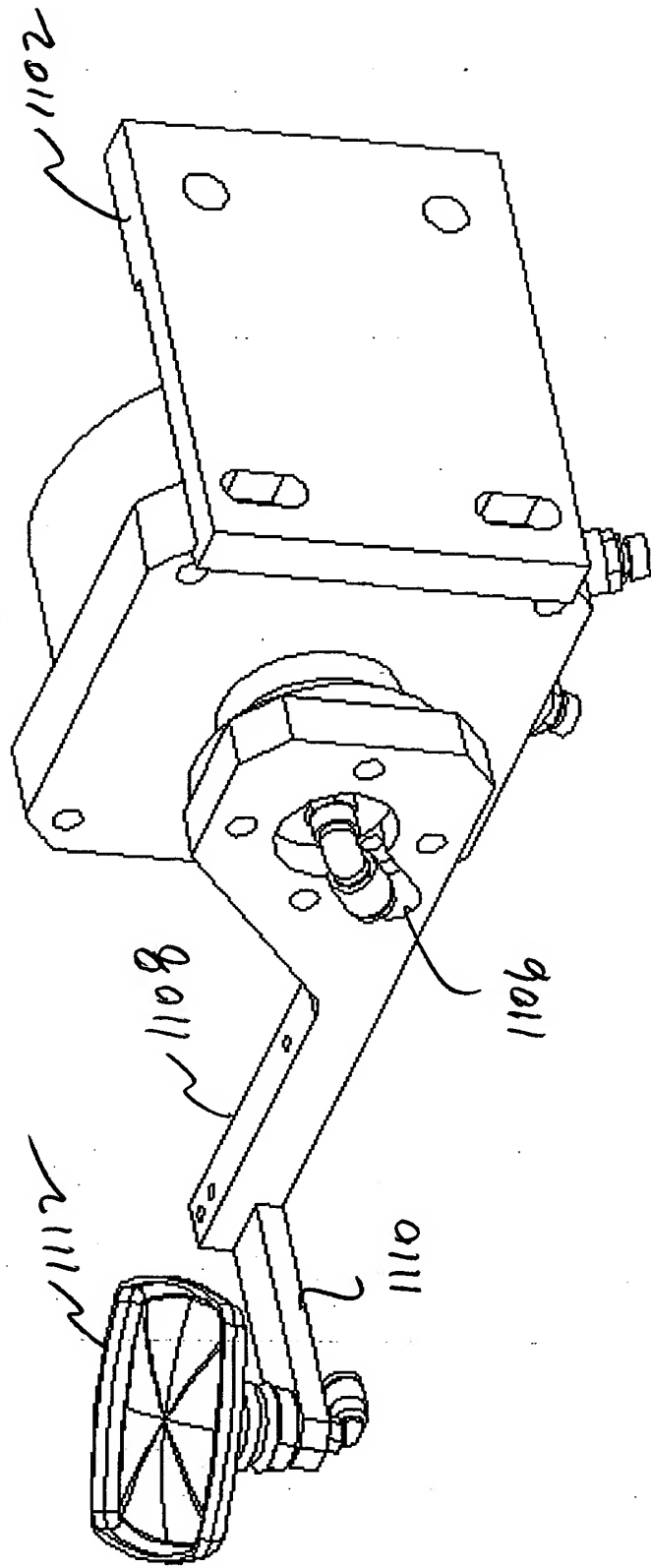


Fig. 11b

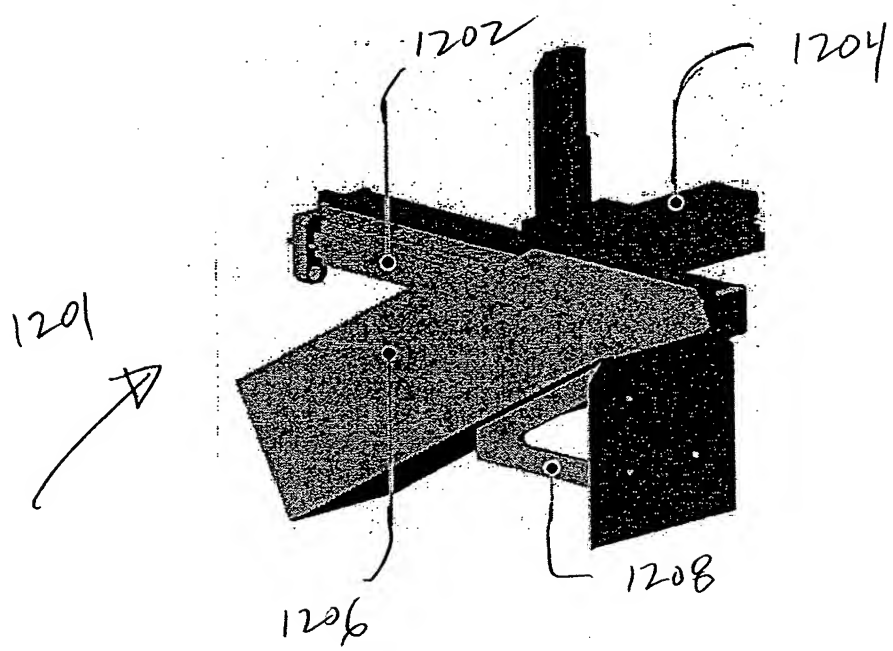
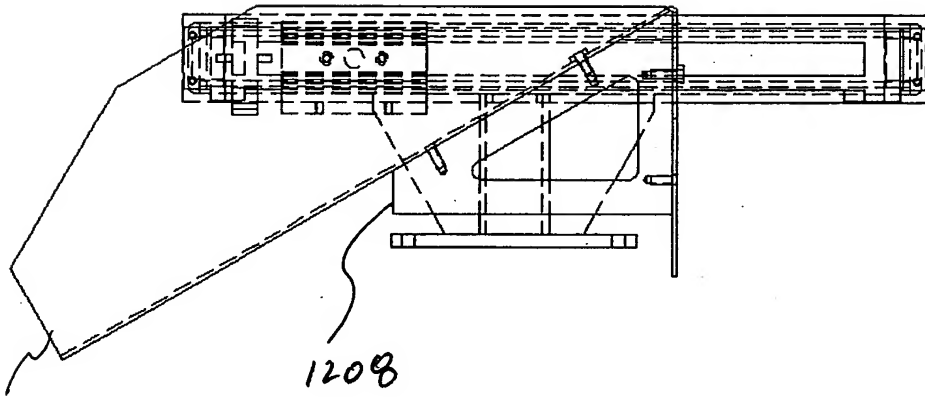


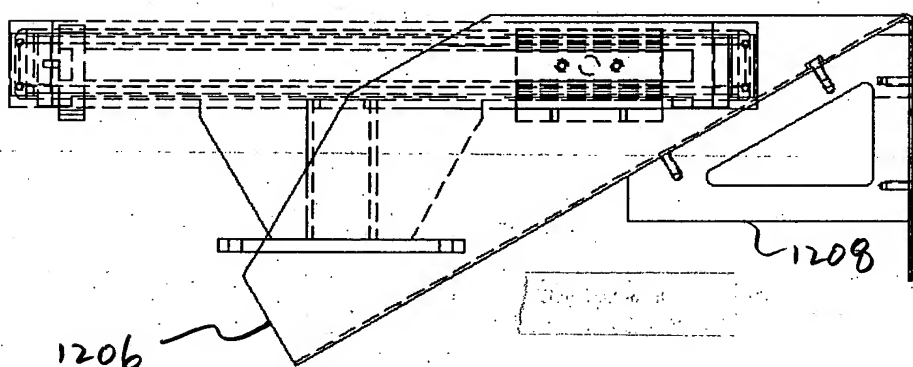
Fig. 12a



1206

1208

FIG 12 b.



1206

1208

FIG. 12c

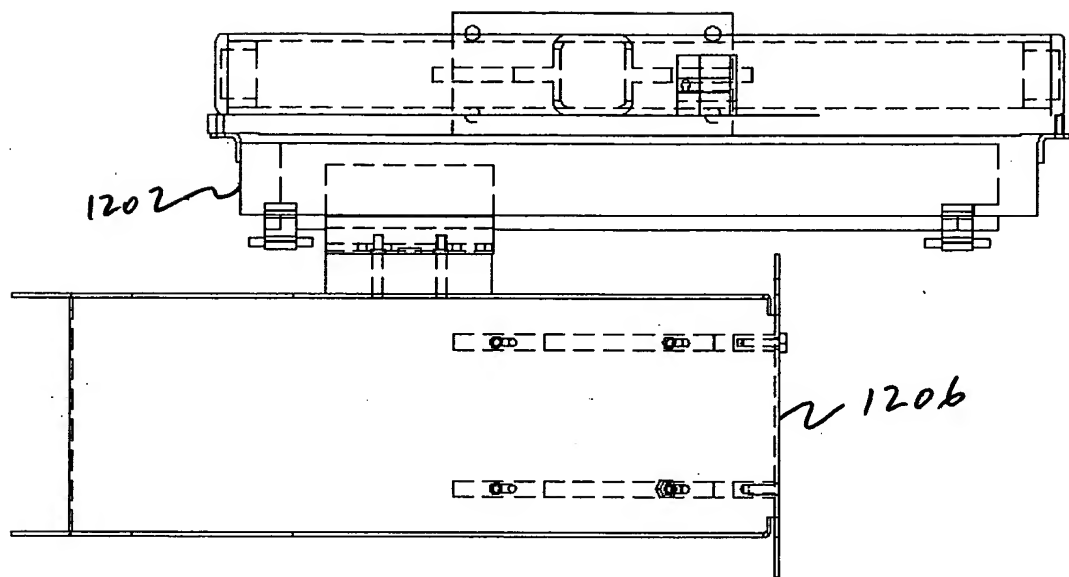


FIG. 12d

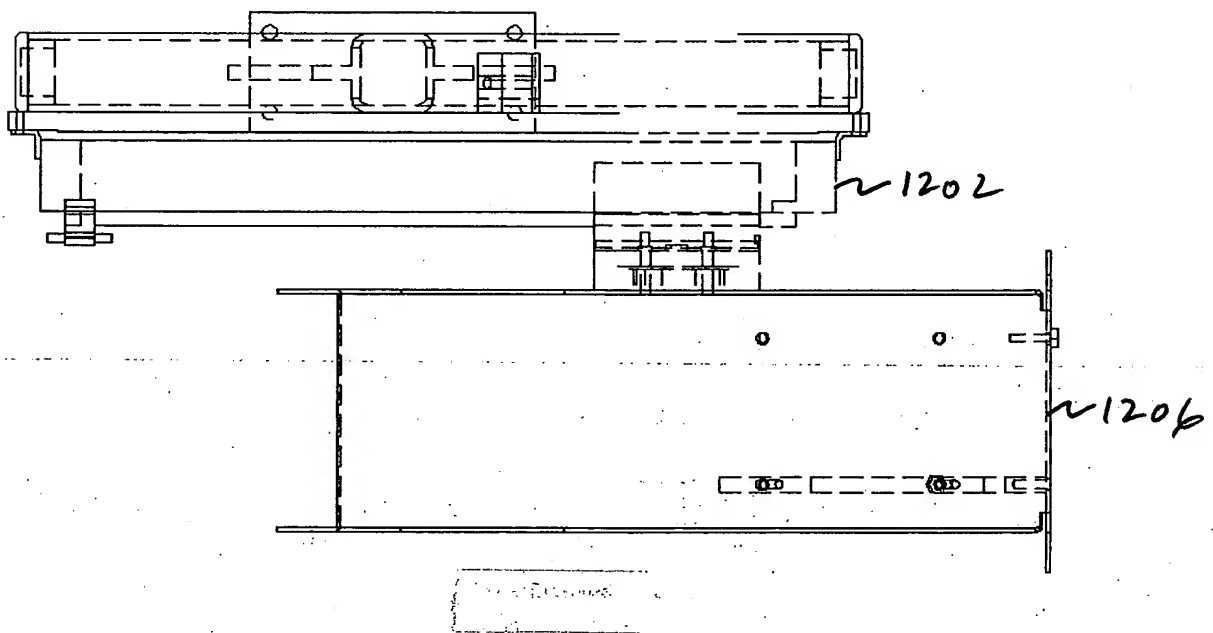


FIG. 12e

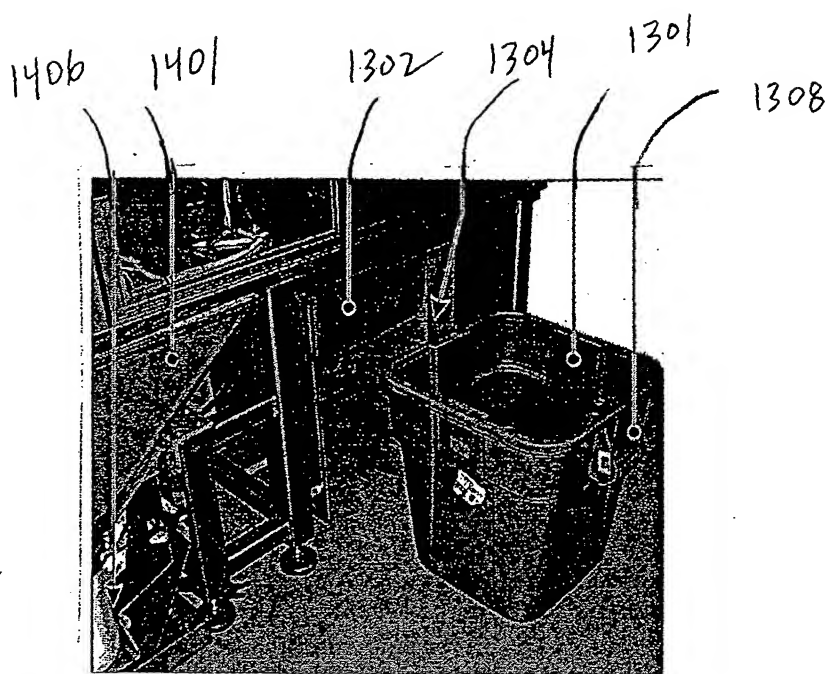


FIG. 13

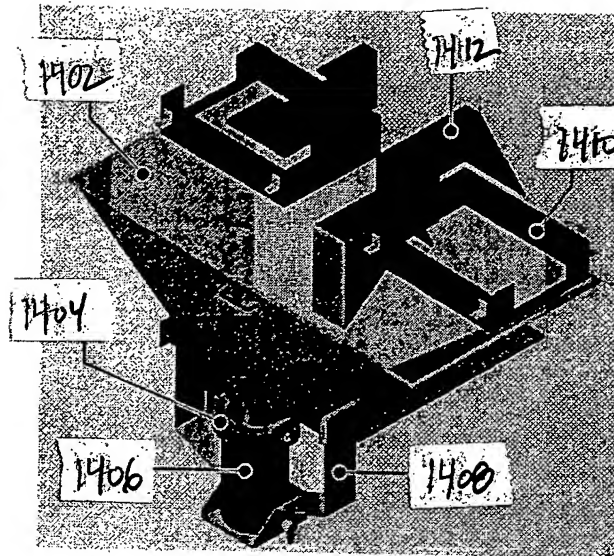


Fig. 14

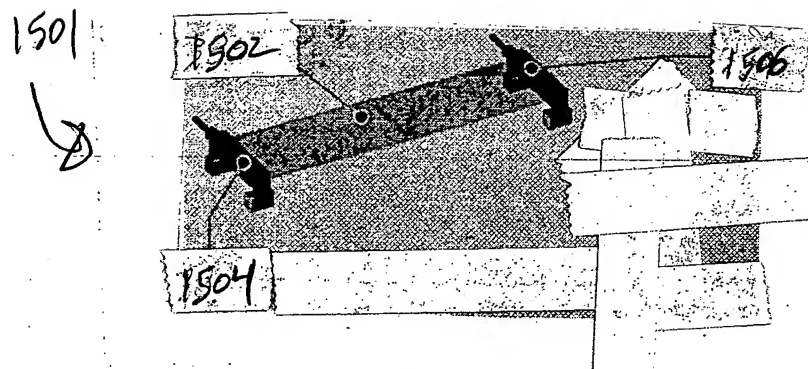
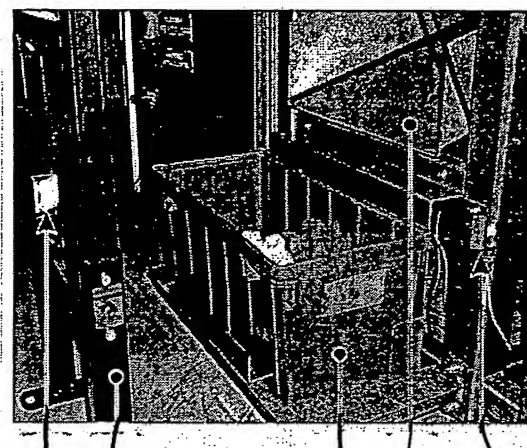


Fig. 15



1601

1610

1602 1604 1606 1608

Fig. 16

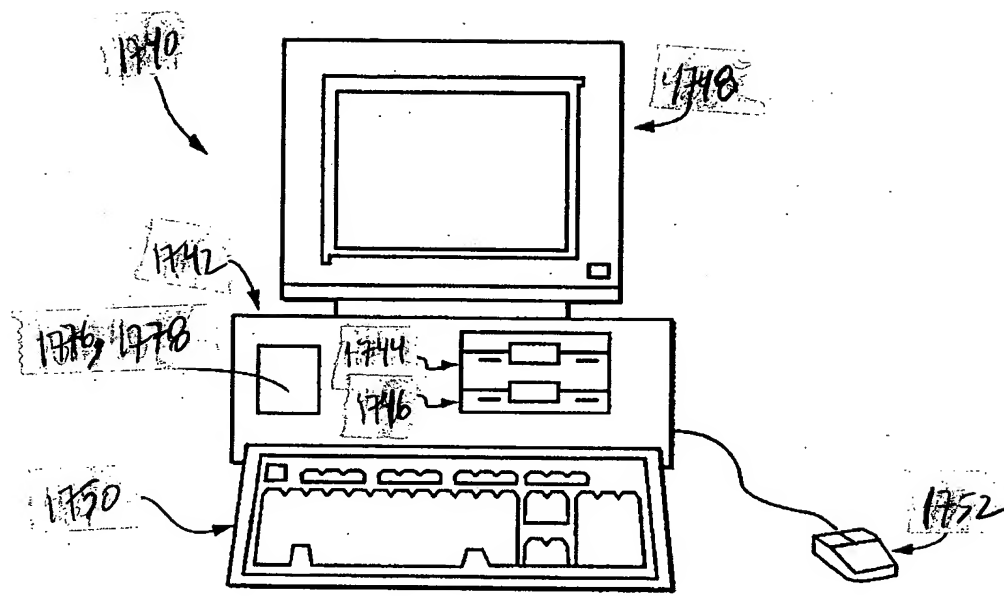


FIG. 18

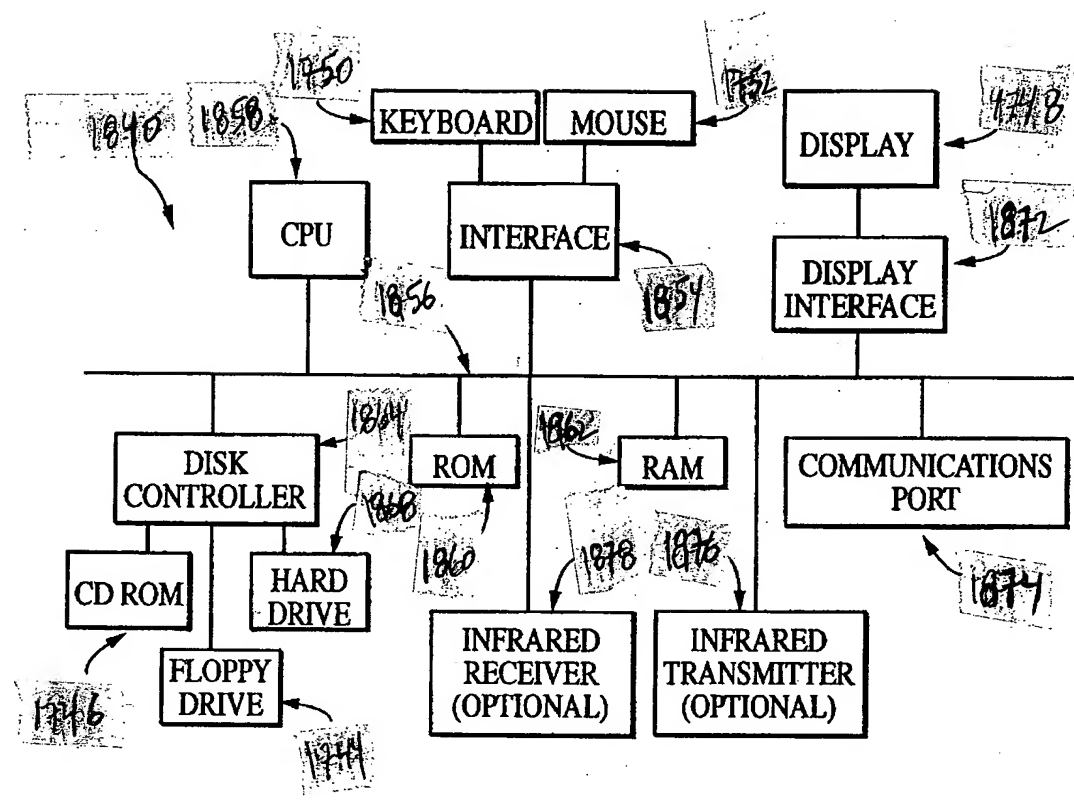


FIG. 18

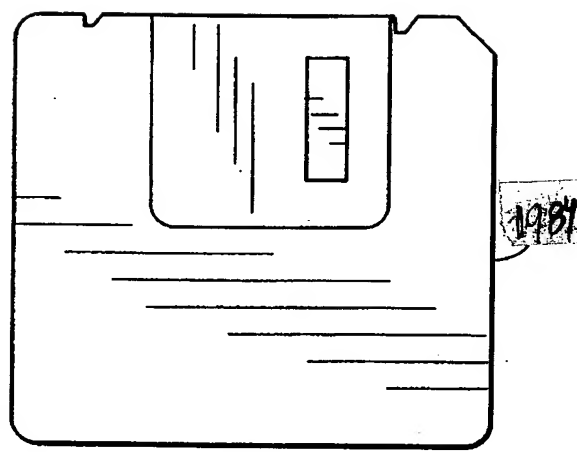


FIG. 19

FIG. 20

